

## SDLL400 - Poutre en vibration avec centre de torsion excentré

---

### Résumé :

Ce test est issu de la validation indépendante de la version 4 des modèles de poutre.

Il permet de tester la prise en compte d'une excentricité du centre de torsion sur le calcul de fréquences propres d'une poutre droite (une modélisation avec des éléments `POU_D_E`, poutre droite d'Euler).

## 1 Problème de référence

### 1.1 Géométrie

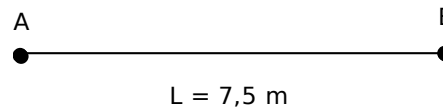


Figure 1.1-a

Poutre droite de longueur  $7,5\text{ m}$ .

**Caractéristiques de la section :**

Il s'agit de la poutre en  $U$  présentée [Figure 1.1-b].

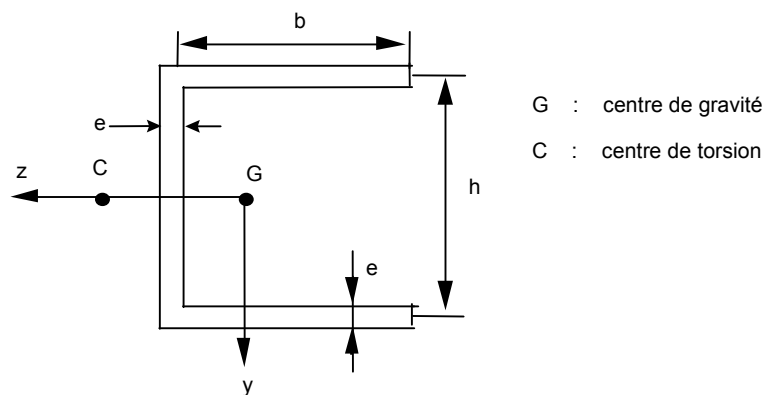


Figure 1.1-b : Section de la poutre en  $U$

$$h = 200\text{ mm}$$

$$b = 273\text{ mm}$$

$$e = 8,2\text{ mm}$$

On a par [bib1] les données suivantes :

$$I_y = I_z = 5,022 \cdot 10^{-5}\text{ m}^4$$

$$ZGC = 221,5\text{ mm}$$

On calcule à partir de la géométrie de la section :

$$S = 6,117 \cdot 10^{-3}\text{ m}^2$$

$$J_x = 1,2810^{-7}\text{ m}^4$$

### 1.2 Propriétés des matériaux

Module d'Young :  $E = 2.07 \cdot 10^{11}\text{ Pa}$

Coefficient de Poisson :  $\nu = 0,3$

Masse volumique :  $\rho = 7850\text{ kg/m}^3$

## 1.3 Conditions aux limites

### Condition aux limites :

Problème plan :  $DZ$  et  $DRY$  bloqués.

Nœuds  $A$  et  $B$  appuyés :  $DX$  et  $DY$  bloqués

La prise en compte de l'excentricité se fait à l'aide de l'opérande `LIAISON_DDL` de la commande `AFFE_CHAR_MECA`.

Les degrés de liberté sont toujours en  $G$ , et on tient compte de l'excentricité par :

$$DY(G) = DY(C) + GC \wedge \Theta_x$$

## 2 Solutions de référence

### 2.1 Méthode de calcul utilisée pour les solutions de référence

Il s'agit des fréquences propres solutions du problème homogène sans amortissement.

Elle est partiellement donnée dans [bib1]. La méthode de résolution, de type éléments finis, concerne un modèle `POU_D_TG`. Cependant, une série de résultats est fournie dans le cas où les effets de la torsion de gauchissement sont négligés, ce qui ramène la modélisation à un `POU_D_T`.

N° mode	1	2	3	4	5
Fréquence ( Hz )	3,797	7,788	11,74	15,68	19,62

Tableau 2.1-A : Résultats de référence selon [bib1]

On peut accorder une certaine confiance à ces résultats publiés dans un journal à comité de lecture. Cependant des incertitudes existent si l'on veut reproduire ces calculs : les constantes de torsion  $J_x$  et de cisaillement  $k_y$  ne sont pas fournies dans l'article. Il a fallu les recalculer à partir de la géométrie de la section.

### 2.2 Résultats de référence

Fréquences propres de la poutre sans amortissement

### 2.3 Incertitude sur la solution

Comparaison entre codes (CAILLOU [bib2] et ASTER), et solution analytique.

### 2.4 Références bibliographiques

- WU J.S. & CHEN K.Z. : Dynamic Analysis of a channel beam due to a moving load. J. of Sound and Vibration, vol. 188, n° 3, pp 337-345, 1995.
- Code CAILLOU version 4 du 30 octobre 1996, IAT
- Rapport n° 2314/A de l'Institut Aérotechnique « Proposition et réalisation de nouveaux cas tests manquant à la validation des poutres ASTER »

## 3 Modélisation A

---

### 3.1 Caractéristiques de la modélisation

Le modèle est composé de 15 éléments poutre droite d'Euler.

### 3.2 Caractéristiques du maillage

15 éléments POU\_D\_E

### 3.3 Grandeurs testées et résultats

Mode	Résultats CAILLOU	Résultats Aster	Ecart (%)
1	3,79432	3.7966	0.063
2	7,43340	7.4513	0.242
3	11,4450	11.5108	0.575
4	15,3439	15.5027	1.036
5	19,4766	19.8060	1.692

Tableau 4.1-A : Comparaison ASTER/CAILLOU en POU\_D\_E avec excentricité

Mode	Résultats Référence	Résultats Aster	Ecart (%)
1	3.79700	3.7966	-0.008
2	7.78800	7.4513	-4.322
3	11.7400	11.5108	-1.952
4	15.6800	15.5027	-1.130
5	19.6200	19.8060	0.948

Tableau 4.1-B : Comparaison ASTER/Référence [bib1] en POU\_D\_E avec excentricité

## 4 Synthèse des résultats

---

Les résultats sont assez proches de la solution de référence (numérique). (écart  $< 5\%$ ), pour laquelle certaines données manquaient et ont donc dû être estimées. Ils correspondent par contre très bien aux résultats du code CAILLOU de l'IAT (données identiques à celles de *Code\_Aster*).

Ceci permet de valider la prise en compte de l'excentrement du centre de torsion dans les matrices de masse et de rigidité.